

M. Benayoun, P. David, L. Del Buono

g-2 :

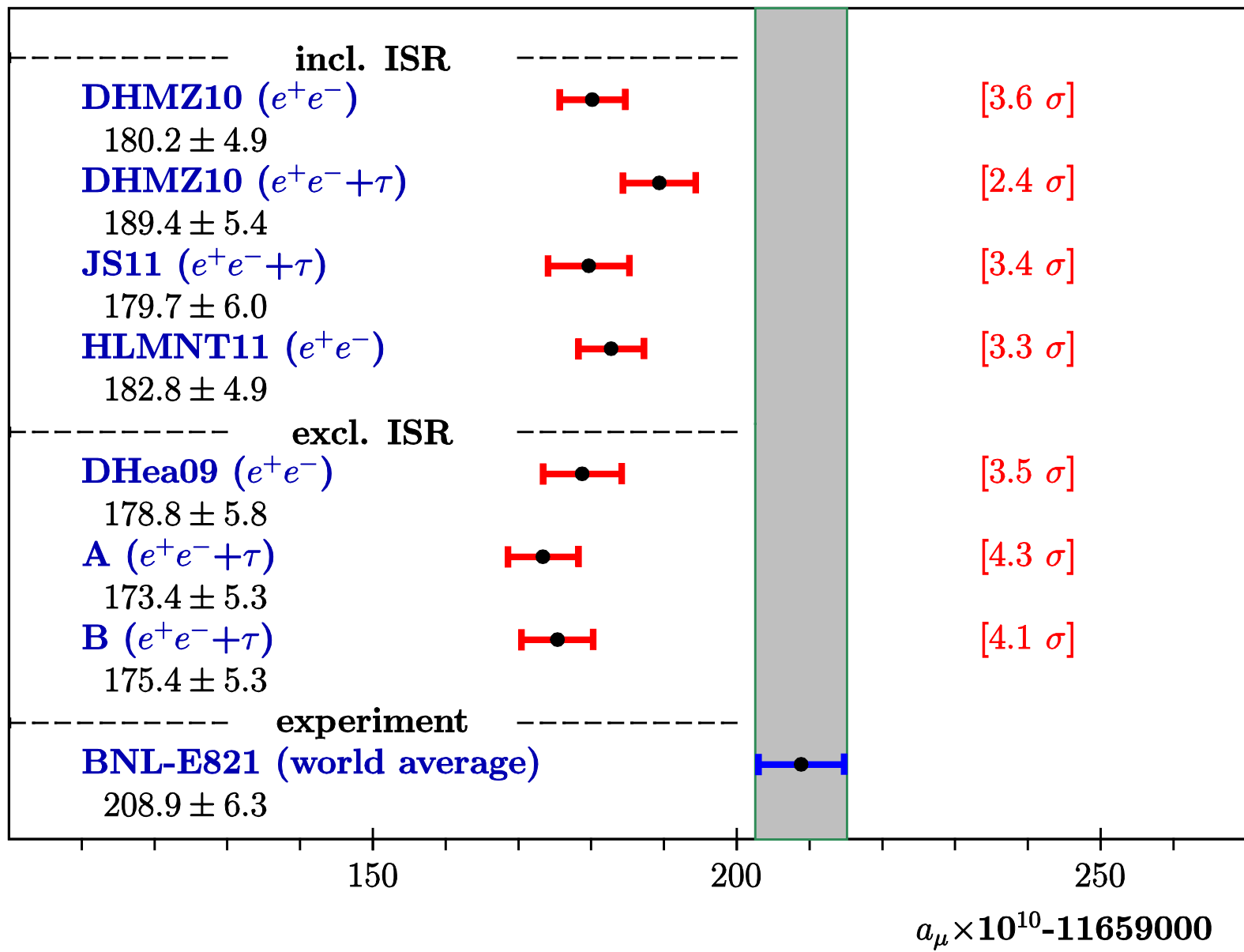
- *A global treatment of VMD up to the phi : e+e- annihilation anomalies and vector meson partial widths.* EPJC **65** 211-245 (2010)
- *A global treatment of VMD up to the phi : tau decay and hadronic contribution to g-2.* EPJC **68** 355-379 (2010)
- *Upgraded breaking of HLS model : a full solution of tau e+e- and phi decay issues and its consequences on g-2 VMD estimates.* submitted EPJC (2011)

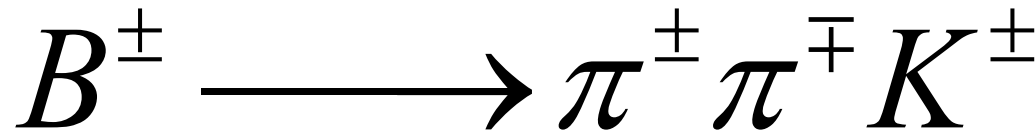
Violation de CP sur LHCb :

- Etude du canal $B^\pm \longrightarrow \pi^\pm \pi^\mp K^\pm$
- Etude du canal $B^\pm \longrightarrow \eta' (\pi^\pm \pi^\mp \gamma) K^\pm$

g-2

Résultats
obtenus
pub 2011





$$Br(B^\pm \longrightarrow \pi^\pm \pi^\mp K^\pm) \sim 5 \cdot 10^{-5}$$

$$a_{CP}^{PDG}(B^\pm \longrightarrow \pi^\pm \pi^\mp K^\pm) \sim 0.038 \pm 0.022$$

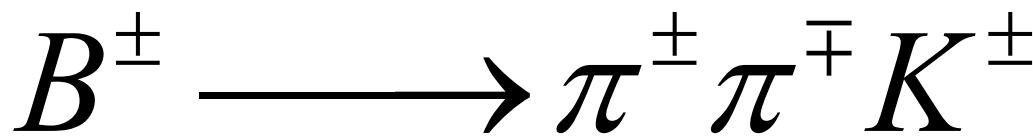
Data 2010 et 2011 (< juillet)

Sélection :

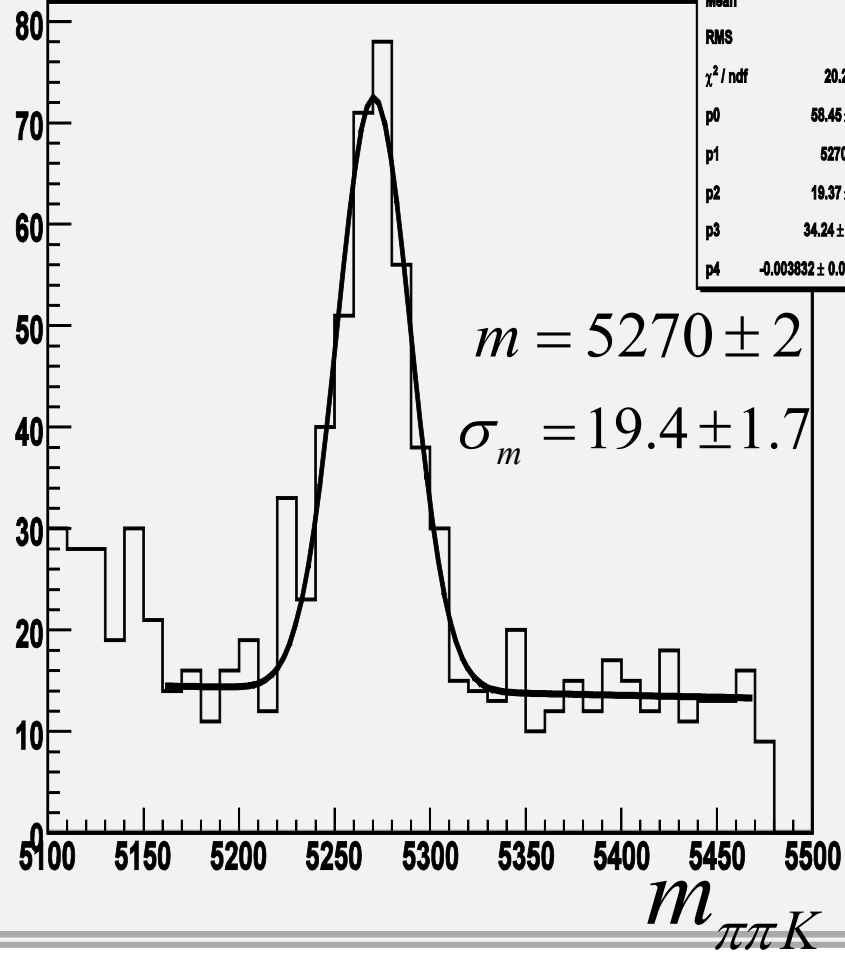
HLT = B2hhh (new release car $\nu_{2010/2011(partiel)} \sim 2.5$)

Algorithme revisité et optimisé

Coupures charme etc + misId



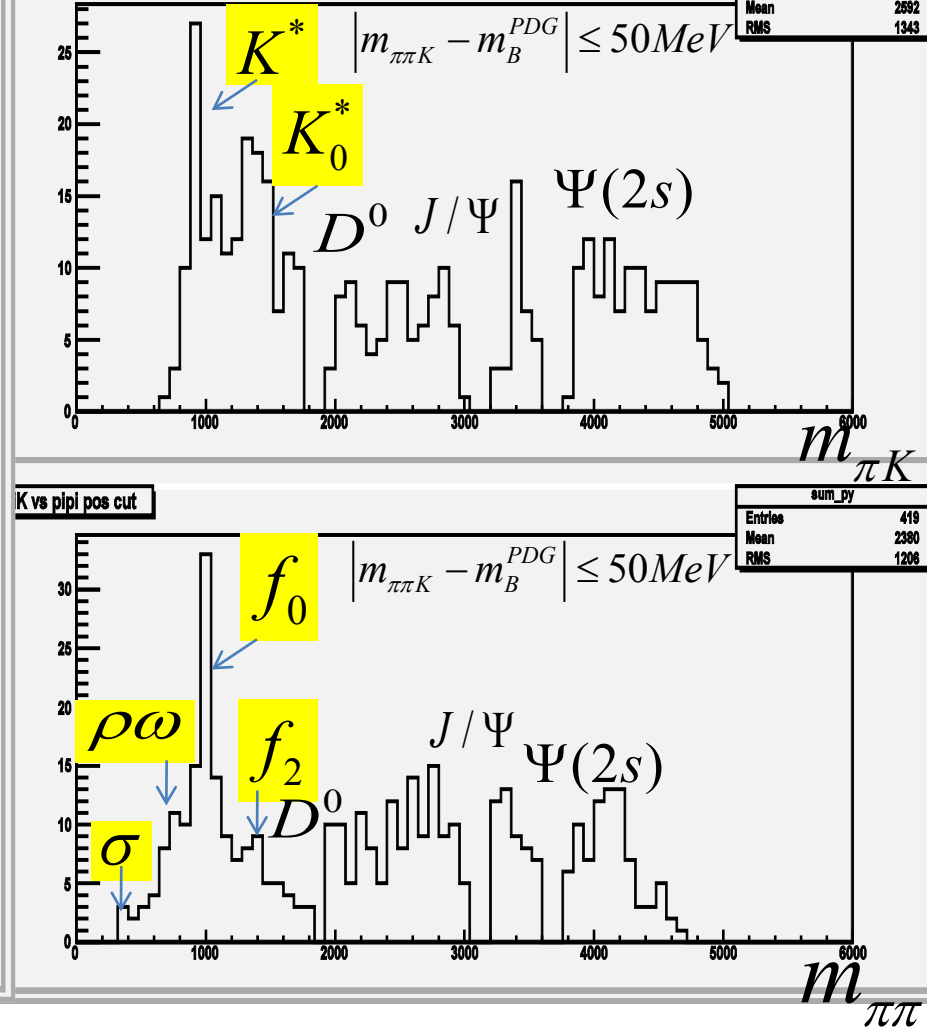
Mass 3 corps cut



rebin2_masspipik

Entries	969
Mean	5268
RMS	94.67
χ^2 / ndf	20.29 / 26
p0	58.45 ± 5.33
p1	5270 ± 1.6
p2	19.37 ± 1.69
p3	34.24 ± 44.30
p4	-0.003832 ± 0.008292

K vs pipi pos cut



$B / S(3\sigma_m) \sim 0.55$

$N_{\pi^\pm \pi^\mp K^\pm} (3\sigma_m) \sim 350$

Fin 2011 \sim 4 fois plus

$$B^\pm \longrightarrow \eta' (\pi^\pm \pi^\mp \gamma) K^\pm$$

$$Br(B^\pm \longrightarrow \eta' (\pi^\pm \pi^\mp \gamma) K^\pm) \sim 2.10^{-5}$$

$$a_{CP}^{PDG}(B^\pm \longrightarrow \eta' (\pi^\pm \pi^\mp \gamma) K^\pm) \sim 0.013 \pm 0.017$$

Data 2010/2011 (<1/2 juillet) : algorithme de sélection+coup. charme etc

Problèmes avec les « photons »

$$\frac{\sigma_E}{E} = \frac{10\%}{\sqrt{E}} + 1\%$$

$$\nu_{2010/2011(\text{partiel})} \sim 2.5$$

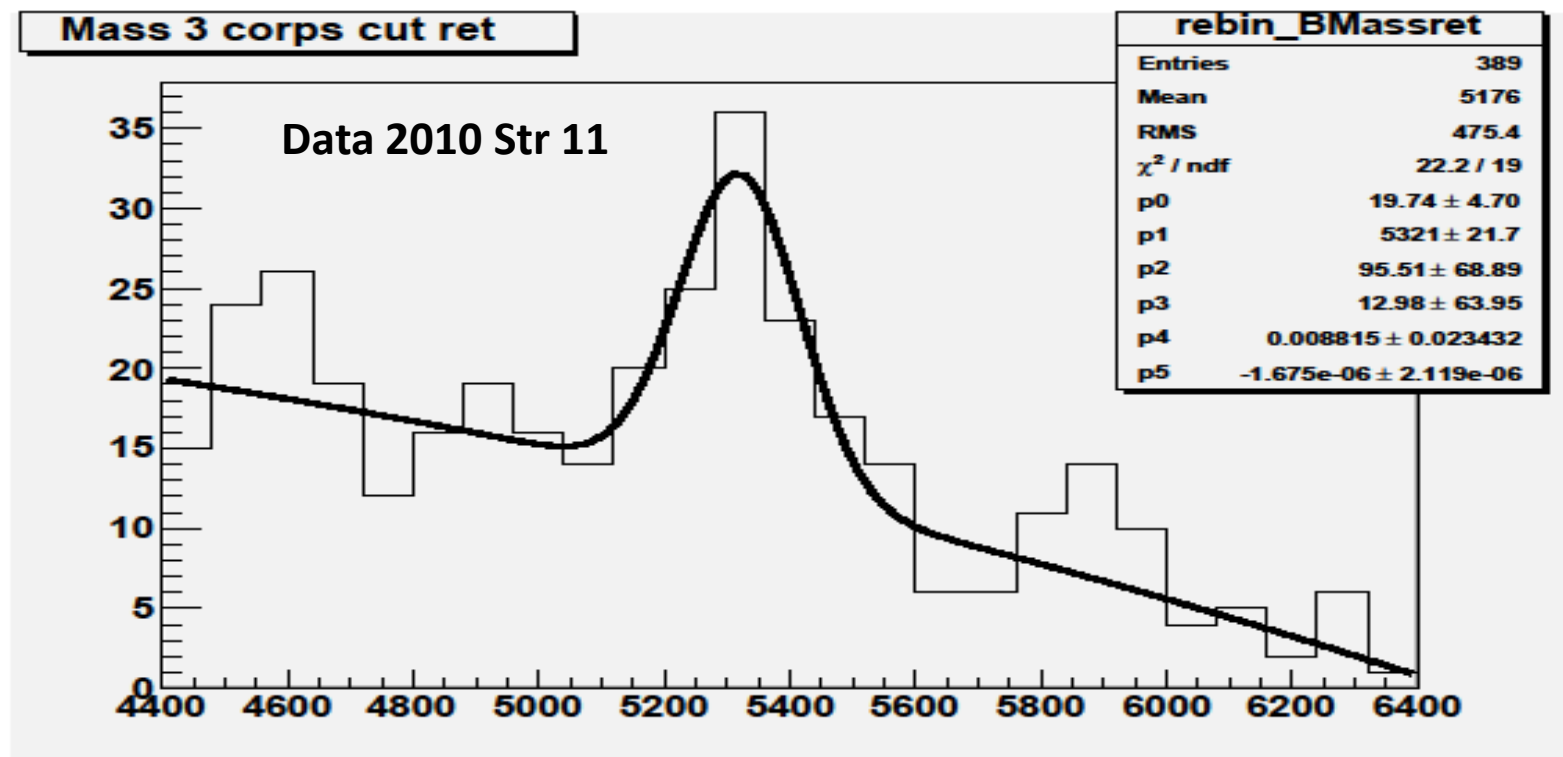
Définition des clusters

Dérive de m_{π^0}

Calibration

$$B^\pm \longrightarrow \eta' (\pi^\pm \pi^\mp \gamma) K^\pm$$

Illustration du pb. $B^0 \longrightarrow K^* \gamma$



$$\sigma_{K^* \gamma} \sim 100 \text{MeV} \gg \sigma_{\pi \pi K}$$



On cherche x tq : $(P_{\eta'}^{PDG})^2 = (P_{\pi\pi}^{rec} + (1+x)P_\gamma^{rec})^2$

On calcule : $(P_B^{rec})^2(x)$

On cherche y tq : $(P_B^{PDG})^2 = (P_{\pi\pi K}^{rec} + (1+y)P_\gamma^{rec})^2$

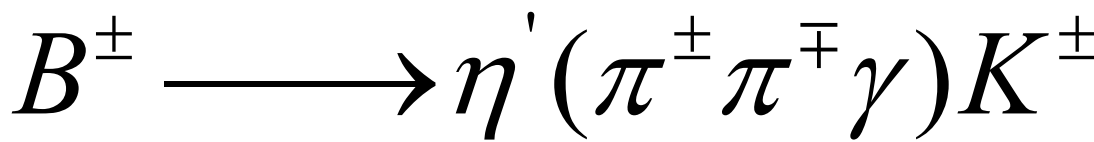
On calcule : $(P_{\eta'}^{rec})^2(y)$

Pour le signal si : $\sigma_{\vec{p}_i} = 0 \Rightarrow x = y$

Sélection sur : $\left| \frac{x - y}{2 + x + y} \right| \quad (P_B^{rec})^2(x) \quad (P_{\eta'}^{rec})^2(y)$

On valide par : $(P_{\pi\pi}^{rec})^2 \equiv (P_\rho^{PDG})^2$

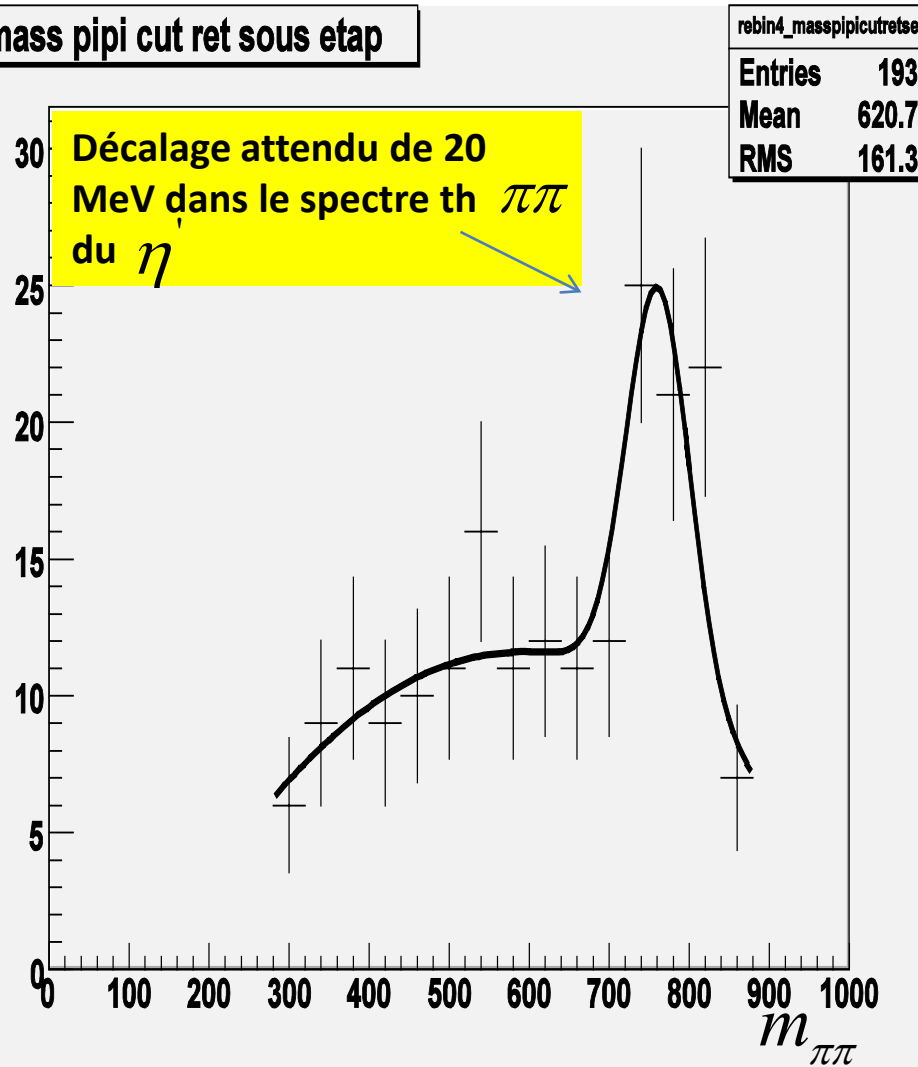
Indépendance fonctionnelle de x et y
Parfaitement connu pour le η'



$$\left| m_{\pi\pi\gamma}(y) - m_{\eta'}^{PDG} \right| \leq 20 MeV$$

mass pipi cut ret sous etap

Décalage attendu de 20
MeV dans le spectre th $\pi\pi$
du η'



mass pipikg cut ret sous etap

